

## تأثیر آنالیز نویز واقع بینانه بر معناداری پارامترهای ماتریس استرین

سیده مهدیه رازقی<sup>۱\*</sup>، علیرضا امیری سیمکوئی<sup>۲</sup>، محمدعلی شریفی<sup>۳</sup>

<sup>۱</sup>دانشجوی کارشناسی ارشد گروه مهندسی نقشه برداری- پردیس دانشکده های فنی- دانشگاه تهران  
razeghi86@ut.ac.ir

<sup>۲</sup>دانشیار گروه مهندسی نقشه برداری- دانشکده فنی مهندسی- دانشگاه اصفهان  
amiri@eng.ui.ac.ir

<sup>۳</sup>استادیار گروه مهندسی نقشه برداری- پردیس دانشکده های فنی- دانشگاه تهران  
sharifi@ut.ac.ir

(تاریخ دریافت تیر ۱۳۹۱، تاریخ تصویب مهر ۱۳۹۲)

### چکیده

بیش از ۲۰ سال از جمع آوری داده های GPS می گذرد و در حال حاضر می توان ادعا کرد که سری های زمانی مناسبی از داده های GPS در اختیار است. در اغلب استفاده هایی که از این سری های زمانی می شود نویز سفید را به عنوان ماتریس کوریانس مناسب برای کاربردهای مختلف از سری های زمانی انتخاب می کنند و این در حالیست که با گذشت ۲۰ سال از جمع آوری این داده ها مدل سازی بهتری از این سیگنال ها ممکن است و دیگر تنها نویز سفید پاسخگوی تمامی سیگنال های ناخواسته در سری های زمانی GPS نیست. اگرچه نویز سفید بخش اجتناب ناپذیر هر سری زمانی است اما تحقیقات نشان داده که این نویز تنها بخشی از نویز واقع بینانه از یک سری زمانی است. در این تحقیق برآن هستیم تا مدل نویز مناسبی را به سری های زمانی GPS نسبت دهیم و تفاوت نتایج کاربردهای این سری ها را با مدل نویز واقع بینانه بررسی کنیم. به همین منظور آنالیز استرین را که یکی از مهمترین کاربردهای سری های زمانی GPS است انجام داده و دقت استرین های مذکور را در دو حالت نویز سفید و نویز واقع بینانه با یکدیگر مقایسه می کنیم. همچنین کمیتی را با نام استرین نرمال شده برآورد می کنیم که در مقایسه فوق کمک بیشتری را به ما خواهد کرد.

شبکه کالیفرنیا با بیش از ۱۰ سال داده GPS پیوسته، با تراکم مناسب معیار خوبی است تا میزان تاثیر طول سری زمانی و عدم گسستگی داده ها در نتایج نهایی نشان داده شود. از طرفی شبکه آذربایجان یکی از منظم ترین و مترافق ترین شبکه های ایران است که مدل نویز حاصل شده برای این شبکه می تواند برای کل شبکه ژئودینامیک ایران در نظر گرفته شود. حال با مقایسه نتایج این دو شبکه می توان به منظور بهبود نتایج در آینده برای شبکه ژئودینامیک ایران پیشنهادهای مفیدی را ارائه داد.

**واژگان کلیدی:** سری زمانی، نویز سفید، نویز واقع بینانه، نویز چند متغیره، آنالیز استرین، استرین نرمال شده.

\* نویسنده رابط

## ۱- مقدمه

بار توسط امیری و همکارانش در سال ۲۰۰۷ انجام شد و مشخص گردید که مدل نویز حاصل از این روش واقع بینانه بوده و بسیار انعطاف پذیر نسبت به کاربردهای موجود است [۱۱]. در اینجا نیز ما سعی بر آن داریم تا استرین‌های حاصل از سالها جمع آوری سری‌های زمانی را LS-VCE توسط مدل نویز واقع بینانه حاصل از روش ارزیابی کنیم. از طرفی این سوال پیش می‌آید که تاثیر دستیابی به این مدل نویز بر روی آنالیز استرین چه می‌تواند باشد که به این سوال و دیگر سوالات مرتبط در طی این مقاله پاسخ داده خواهد شد و خواهیم دید چه خصوصیاتی از یک شبکه می‌تواند در معنی دار بودن استرین‌های حاصله موثر باشد. مطلبی که این کار را از سایر کارهای موجود متمایز می‌سازد ارزیابی استرین‌های حاصل از آنالیز استرین توسط مدل نویز واقع بینانه حاصل از LS-VCE است. اینکه بررسی شود اگر تمامی نویزهای موجود در سری‌های زمانی برای استرین‌های حاصل از آنها در نظر گرفته شود، معناداری استرین‌ها چه تغییری می‌کند؟ و یا اینکه چه شبکه و با چه خصوصیاتی در سری‌های زمانی، استرین‌های معنادارتر و مطمئن تری را خواهد داشت؟

## ۲- تعیین مدل ریاضی

در این قسمت هدف ایجاد یک ارتباط صحیح میان مشاهدات و مجھولات است. از آنجا که هدف نهایی پروژه دستیابی به مدل نویز می‌باشد، مدل تابعی صحیح برای مشاهداتی که سری زمانی از مشاهدات GPS هستند، مجموعی از یک ترند خطی، موقعیت نقاط و هارمونیک-هایی است که سری زمانی از آنها تبعیت می‌کند [۱۲]. برای تشکیل مدل ریاضی از برآورد کمترین مربعات هارمونیک و برای دستیابی به هارمونیک‌های مرتبط به سری زمانی از توان طیفی استفاده کردۀایم.

### ۲-۱- برآورد کمترین مربعات هارمونیک<sup>۴</sup>

زمانی که مشاهدات را در مدل تابعی قرار می‌دهیم، موارد ناشناخته‌ای که باقی می‌مانند یعنی اثرات مدله نشده،

علاوه بر خطاهایی که در پردازش داده‌های خام GPS برای آنها در نظر گرفته می‌شود، سیگنال‌های ناخواسته و تا حدودی ناشناخته در این داده‌ها باقی می‌ماند که خود را در سری‌های زمانی این مشاهدات پردازش شده بیشتر نشان می‌دهند. از آنجا که مشاهدات سری‌های زمانی در شبکه‌های ژئودینامیک کاربردهای فراوانی از جمله بررسی چرخش‌ها و کرنش‌های هر شبکه را دارد، لذا در نظر گرفتن یک مدل نویز مناسب امری ضروری به حساب می‌آید. همیشه دستیابی به استرین‌های معنی دار برای درک حرکات و دوران‌های یک شبکه یکی از دغدغه‌های اصلی تمامی ژئودزین‌ها بوده است. از طرفی در سال‌های اخیر برخی از دانشمندان به آنالیز نویز سری‌های زمانی، خصوصاً GPS، پرداخته و به دنبال مدلی بودند که به توان به عنوان مدل نویز واقع بینانه برای پردازش‌های بعدی به آن اعتماد کرد. از جمله این تحقیقات Zhang و همکاران در سال ۱۹۹۷ است که ۱۹ ماه داده‌های پیوسته از ۱۰ ایستگاه جنوب کالیفرنیا را توسط بیشترین احتمال محدود شده<sup>۱</sup> با شاخص‌های طیفی طبیعی پردازش کرده و یافتند که مدلی ترکیب از نویز سفید و فلیکر برای این داده‌ها بهترین مدلی است که می‌توان به عنوان مدل نویز به این داده‌ها نسبت داد [۱]. به همین طریق Calais سال ۱۹۹۹ و Mao و همکاران در سال ۱۹۹۹ و Williams و همکاران در سال ۲۰۰۴ دریافتند که مدل نویز مناسب با سری‌های زمانی GPS مدلی ترکیب از نویز سفید و نویز فلیکر است [۲][۳][۴]. حتی فرکانس‌های بالاتر سری‌های زمانی GPS (۱ - ۳۰ ثانیه) نیز از مدل نویز ترکیبی سفید و فلیکر پیروی می‌کنند [۶] و [۵]. همچنین چندین مطالعه وجود نویز رندم واک را در داده‌های ژئودتیک نشان دادند و مشخص شد که نویز رندم واک همان قدری که در اندازه گیری‌های پیوسته کرنش سنج<sup>۲</sup> یافت می‌شد به همان مقدار در داده‌های GPS جنوب کالیفرنیا دیده می‌شود [۸]، [۷]، [۹] و [۱۰]. آنالیز نویز سری‌های زمانی GPS توسط روش برآورد کمترین مربعات مولفه‌های وریانس<sup>۳</sup> اولین

<sup>۱</sup> Restricted Maximum Likelihood

<sup>۲</sup> Strain Meter

<sup>۳</sup> Least Square Variance Component Estimation

که در آن، ماتریس  $A_k$  همان ساختار ماتریس  $A$  در معادله ۳ را دارد و  $\hat{e}_0 = P_A^\perp y$  کمترین مربعات باقیماندها در شرایطی است که پروژکتور قائم به صورت  $P_A = A \left( A^T Q_y^{-1} A \right)^{-1} A^T Q_y^{-1}$

### ۳- تعیین مدل تصادفی

از آنجا که مدل ریاضی مذکور تمامی رفتارهای قابل پیش‌بینی سری زمانی را فرموله کرده است و از آنجا که نویز، رفتار ناخواسته سیگنال‌های یک سری زمانی است، حال می‌توان ادعا کرد آنچه از مدل ریاضی در سری زمانی ما باقی می‌ماند، همان میزان نویز در سری زمانی است. اما اینکه سری‌های زمانی ما از چه مدل نویزی تعیین می‌کنند سوالی است که از طریق LS-VCE به آن پاسخ خواهیم داد. اما قبل از آن لازم است تا با مفهوم نویز در سری‌های زمانی آشنا شده و بدانیم که چه ابزاری برای این منظور لازم داریم. در این بخش همچنین آماره‌ای را یادآور می‌شویم که در تایید نتایج به ما کمک خواهد کرد.

#### ۳-۱- مفهوم نویز در سری‌های زمانی

یک مدل آماری مشترک برای بسیاری از انواع سیگنال‌های ژئوفیزیکی (که ممکن است درگیر نویز باشند) می‌تواند به صورت یک پردازش power-law شرح داده شود. رفتار این فرآیند تصادفی به گونه‌ای است که توان طیفیش به فرم زیر در می‌آید:

$$P_x(f) = P_0 \left( \frac{f}{f_0} \right)^k \quad (5)$$

فرکانس مکانی یا زمانی است،  $f_0$  و  $P_0$  ثابت‌های نرمال سازی هستند و  $k$  شاخص طیفی است<sup>[۱۴]</sup>. معمولاً شاخص طیفی در محدوده [۱, ۳] قرار می‌گیرد<sup>[۱۵]</sup>. پردازش‌ها با این محدوده به زیر تقسیم بندی حرکت جزیی برونی<sup>۳</sup> با رنج  $-1 < k < -3$  و نویز جزیی سفید<sup>۴</sup> با رنج  $-1 < k < 1$  در می‌آید. موارد خاص در این مدل آماری در مقادیر طبیعی رخ می‌دهد؛ در  $k = 0$

می‌توانند به صورت همبستگی زمانی<sup>۱</sup> تفسیر شوند. در واقع LS-HE را برای تشخیص بخش‌های پریودیک مدل نشده اثرات در مدل ریاضی استفاده خواهیم کرد. اگر معادلات مشاهدات را  $E\{y\} = Ax$  در نظر بگیریم، وقتی با سری زمانی بدین صورت سروکار داریم:  $R^m = \{y_1, y_2, \dots, y_m\}$  (زمانیکه مشاهده  $y$  در فضای  $R^m$  داده می‌شود؛ که  $R^m$  فضای برداری  $m$  بعدی است)؛  $y$  می‌تواند توسط جمع  $q$  بردار مثلثاتی مجزا تعریف شود یعنی:

$$y_i = \sum_{k=1}^q a_k \cos \omega_k t_k + b_k \sin \omega_k t_k \quad (1)$$

$$E(y) = Ax + \sum_{k=1}^q A_k x_k, \quad D(y) = Q_y \quad (2)$$

طوریکه ماتریس  $A_k$  شامل دو ستون مطابق با فرکانس‌های  $\omega_k$  توابع سینوسی است:

$$A_k = \begin{pmatrix} \cos \omega_k t_1 & \sin \omega_k t_1 \\ \cos \omega_k t_2 & \sin \omega_k t_2 \\ \dots & \dots \\ \cos \omega_k t_m & \sin \omega_k t_m \end{pmatrix}, \quad x_k = \begin{bmatrix} a_k \\ b_k \end{bmatrix} \quad (3)$$

$a_k$  و  $b_k$  اعداد حقیقی هستند. اگر  $\omega_k$  ها معلوم باشند، مسئله کمترین مربعات خطی تخمین دامنه‌های  $b_k$  و  $a_k$  برای  $k = 1, \dots, q$  هستند. اما اگر این فرکانس‌ها مجھول باشند، مسئله به یافتن فرکانس‌های مربوطه تغییر می‌یابد که در این تحقیق نیز مسئله همین است[۱۶].

#### ۲-۲- توان طیفی<sup>۲</sup>

برای دستیابی به فرکانس‌های مربوطه کمیت زیر را تعریف می‌کنیم<sup>[۱۷]</sup>:

$$w_{k=i} = \arg \max_{\dots} \hat{e}_0^T Q_y^{-1} A_j \left( A_j^T Q_y^{-1} P_A^\perp A_j \right)^{-1} A_j^T Q_y^{-1} \quad (4)$$

<sup>۱</sup> Time correlation

<sup>۲</sup> Power Spectrum

<sup>۳</sup> Fractional Brownian Motion

<sup>۴</sup> Fractional White Noise

$$A = [a_1, a_2, \dots, a_n] \Rightarrow \text{vec}(A) = \begin{bmatrix} a_1 \\ a_2 \\ \vdots \\ a_n \end{bmatrix} \quad (9)$$

و همچنین اپراتور  $vh$ ، عملگری است که تنها برای ماتریس‌های متقارن و به فرم زیر تعریف می‌شود (در تعریف زیر  $S$  یک ماتریس قطری و  $D$  ماتریس تکرار است):

$$vh(S) = D^{\dagger} \text{vec}(S) \quad (10)$$

همانطور که عنوان گردید  $vh$  اپراتوری است که روی ماتریس‌های متقارن کار می‌کند و  $B$  ماتریس  $m \times (m-n)$  است که  $(m-n)$  ستون مستقل دارد و به طور خطی فضای پوچی  $A^T$  را پوشش می‌دهد. طوریکه داریم  $A^T B = 0$  یا  $B^T A = 0$ . برآورده‌گر کمترین مربعات برای  $p$  بردار مولفه‌های وریانس کواریانس مجھول سپس می‌تواند به صورت زیر حاصل شود:

$$\hat{\sigma} = (A_{vh}^T Q_{vh}^{-1} A_{vh})^{-1} A_{vh}^T Q_{vh}^{-1} vh(t t^T - B^T Q_0 B) = N^{-1} l \quad (11)$$

جاییکه  $Q_{vh}$  ماتریس کواریانس  $vh(t t^T)$  قابل مشاهده است. می‌توان تمامی ماتریس‌های نرمال  $N_{p \times p}$  بردار  $l$  را به صورت زیر نوشت:

$$n_{kl} = \frac{1}{2} \text{tr}(Q_y^{-1} P_A^\perp Q_k Q_y^{-1} P_A^\perp Q_l), k, l = 1, 2, \dots, p \quad (12)$$

$$l_k = \frac{1}{2} \hat{e}^T Q_y^{-1} Q_k Q_y^{-1} \hat{e} - \frac{1}{2} \text{tr}(Q_k Q_y^{-1} P_A^\perp Q_0 Q_y^{-1} P_A^\perp) \quad (13)$$

از آنجاییکه برآورده‌گر  $\sigma$  برپایه روش کمترین مربعات است، معکوس ماتریس نرمال  $N$  به طور ذاتی ماتریس کواریانس مولفه‌های وریانس کواریانس‌های برآورده شده را می‌دهد  $Q_{\hat{\sigma}} = N^{-1}$ . برای به کارگیری این روش، ابتدا یک فرض اولیه برای مولفه‌های وریانس کواریانس درنظر

یک نویز سفید کلاسیک داریم، در  $-1 = k$  نویز فلیکر داریم و در  $-2 = k$  حرکت برونوی را داریم (رندم واک). به غیر از نویز سفید کلاسیک، ما ترم نویز رنگی را به منظور اشاره به پردازش power-law استفاده خواهیم کرد. [۱۸]

### ۲-۳- برآورد کمترین مربعات مولفه‌های وریانس

برآورد کمترین مربعات مولفه‌های وریانس ابتدا توسط Teunissen در سال ۱۹۹۸ توسعه پیدا کرد. (برای مطالعه بیشتر بخوانید [۱۹]، [۱۲] و [۱۱]). مدل خطی معادلات مشاهدات را با  $p$  تعداد مجھول مولفه‌های وریانس کواریانس در نظر بگیرید:

$$E(y) = Ax, D(y) = Q_y = Q_0 + \sum_{k=1}^p \sigma_k Q_k \quad (6)$$

طوریکه  $E$  و  $D$  اپراتورهای امید و پراکنش را نشان می‌دهند. در مدل ریاضی،  $y$ ،  $x$ ،  $A$ ،  $Q_0$  بردار مشاهداتی است و  $\sigma_k$  بردار از پارامترهایی است که می‌خواهیم و  $Q_k$  ماتریس طراحی  $m \times n$  است که مرتبه کامل ستونی است. ماتریس کواریانس داده‌ها  $Q_y$  به صورت ترکیب خطی مجھول از ماتریس‌های  $m \times m$  معلوم  $Q_k$  ها و  $Q_0$  که بخش معلوم مدل آماری (اگر موجود باشد)، می‌باشد. در این مرحله مولفه‌های وریانس کواریانس مجھول  $k = 1, \dots, p$  تخمین زده می‌شوند. به منظور به کارگیری روش کمترین مربعات برای مولفه‌های وریانس کواریانس می‌توانیم بخش دوم معادلات مشاهدات رابه صورت  $E(vh(t t^T - B^T Q_0 B)) = A_{vh} \sigma$  دوباره فرموله کنیم که در این حالت داریم :

$$\sigma = [\sigma_1, \dots, \sigma_p]^T \quad (7)$$

$$t = B^T y, A_{vh} = [vh(B^T Q_1 B), \dots, vh(B^T Q_p B)] \quad (8)$$

لازم به ذکر است که: اپراتور  $vec$ ، عملگری است که با پسته سازی ستون‌های یک ماتریس، یک بردار ستونی از ماتریس تشکیل می‌دهد (در تعریف زیر  $A$  ماتریسی دلخواه است):

$$t = B^T y \sim N(0, Q_t) \quad (16)$$

$$Q_t = B^T Q_0 B + \sum_{k=1}^p \sigma_k B^T Q_k B \quad (17)$$

آماره زیر به ما کمک می کند تا علاوه بر یافتن بیشترین احتمال برای سه مدل آماری مورد نظر، برای هر کدام از مدل‌ها، اندازه دامنه را داشته باشیم [۲۱]:

$$\hat{\sigma} = \arg \max \ln L(t; \sigma)$$

$$= \arg \min \frac{1}{2} \ln \det(Q_t) + \frac{1}{2} t^T Q_t^{-1} t \quad (18)$$

#### ۴- آنالیز نویز چند متغیره

یک مقدار قابل توجه از نویز رنگی (بین ایستگاه‌ها) می‌تواند یک اربیتی فیزیکی مشترک را انعکاس دهد. Williams و همکارانش در سال ۲۰۰۴ همبستگی مکانی را به صورت تابعی از فاصله زاویه‌ای نشان دادند [۴]. کاهش در نویز‌سفید و فلیکر از بررسی‌های کلی به بررسی‌های محلی نشان داد که برخی نویزها همبستگی زمانی است [۲۲]؛ یعنی نویزهای حاصل از این بررسی‌ها، سیگنال ناخواسته ایستگاه‌ها است. اگرچه بررسی هر پارامتر از هر سری سبب دستیابی به تمامی مقادیر همبستگی زمانی می‌شود، اما از آنجا که احتمال وابستگی میان سری‌های زمانی مختلف وجود دارد، سبب غفلت از همبستگی مکانی می‌شود. همچنین در صورتی که از همبستگی زمانی صرف نظر کنیم و تنها همبستگی میان سری‌ها را بررسی کنیم، سبب آن می‌شود که نتایج برای بردارهای سرعت<sup>۱</sup> بیش از حد نامطمئن شود و بنابراین می‌بایست از آن اجتناب کرد (؛ [۳] [۱۲] [۴]). اینبار معادلات مشاهدات به صورت زیر در خواهد آمد:

$$E(vec(Y)) = (I_r \otimes A)vec(X) \quad (19)$$

<sup>۱</sup> Site Velocity

می‌گیریم  $(\sigma_k^0, k=1, \dots, p)$ . با استفاده از این مقادیر خواهیم داشت:

$$Q_y = Q_0 + \sum_{k=1}^p \sigma_k^0 Q_k \quad (14)$$

معادله  $\hat{\sigma} = N^{-1}l$  با معادلات ۱۲ و ۱۳ برآورده برای  $\sigma_k$  می‌دهد که  $k=1, \dots, p$ ، که در تکرار بعدی همین مقادیر بهبود پیدا می‌کنند. این فرآیند تکرار آنقدر ادامه پیدا می‌کند تا مقادیر وریانس کواریانس تخمین زده شده تغییری نکنند [۱۲]. بر عکس بیشترین احتمال محدود شده (RML)، یک برآوردگر کمترین وریانس نالریب را حاصل می‌دهد. خاصیت نالریبی مستقل ازتابع توزیع مشاهدات است. همچنین LS-VCE سریع‌تر از RML است، زیرا از طرح نیوتون-رافسون استفاده می‌کند که سبب می‌شود از روش downhill simplex کمترین سریع‌تر باشد [۲۰]. این روش همچنین به ما اجازه می‌دهد تا انواع مولفه‌های نویز را در مدل آماری با یکدیگر ترکیب کنیم. با استفاده از آزمون‌های آماری می‌توان به سادگی قضاوت کرد که آیا مولفه‌های نویز حاصل شده در این سری زمانی موجود هستند یا خیر [۱۲].

#### ۳-۳- بیشترین احتمال محدود شده

همواره در علوم ژئوماتیک برای آنکه از نتایج بدست آمده مطمئن باشیم، از آماره‌های موجود با توجه به نوع مسئله برای تایید نتایج استفاده می‌کنیم. در اینجا از آماره RML برای تایید نتایج و همچنین یافتن دامنه مدل-های نویز استفاده کردہ‌ایم. روش بیشترین احتمال برآورد مولفه‌های وریانس کواریانس تنها زمانی به کار می‌رود که تابع توزیع مشاهدات معلوم باشد. در این بخش ما خود را به توزیع نرمال محدود می‌کنیم و روش بیشترین احتمال محدود شده را مطرح می‌کنیم:

$$y \sim N(Ax, Q_y), Q_y = Q_0 + \sum_{k=1}^p \sigma_k Q_k \quad (15)$$

همانطور که در قبل مطرح شد، می‌توان مدل معادلات مشاهدات را به صورت مدل معادلات شرط نیز عنوان کرد:

## ۵- آنالیز استرین

یکی از مهمترین کاربردهای شبکه‌های ژئودینامیک استفاده از سری‌های زمانی به منظور برآورد پارامترهای استرین می‌باشد. روش‌های مختلفی برای این منظور وجود دارد که در اینجا روش مورد نظر استفاده از گرادیان بردار جابجایی است. اما برای استفاده از این روش نیازمند انجام مثلث بندی و اصطلاحاً استفاده از روش المان محدود<sup>۲</sup> برای آنالیز استرین می‌باشیم.

با توجه به فصل چهارم کتاب مکانیک محیط‌های پیوسته Malvern تغییر شکل و جابجایی برای یک مولفه مختصاتی می‌تواند به صورت زیر بیان شود<sup>[۲۴]</sup>:

$$u + du = u + \frac{\partial u}{\partial x} dx = u + \varepsilon dx + \omega dx \quad (25)$$

$u$  بیانگر موقعیت فعلی نقطه و  $du$  بیانگر تغییرات نقطه در طول زمان مورد نظر است. این تغییرات شامل جابجایی‌ها و تغییرشکل‌ها می‌باشد که مشتقات جزیی، مولفه‌های جابجایی و کرنش و چرخش را برای ما تولید می‌کند.  $\varepsilon$  بیانگر کرنش‌های شبکه است که می‌تواند در سه بعد مختصاتی و حتی میان محوری باشد و  $\omega$  مولفه‌های چرخش در سه راستا را بیان می‌کند. بنابراین فرم کامل تر فرمول فوق برای هر مولفه مختصاتی به صورت زیر است:

$$\begin{aligned} u_x^i &= u_x^0 + \varepsilon_{xx} dx_{i0} + \varepsilon_{xy} dy_{i0} \\ &+ \varepsilon_{xz} dz_{i0} + \omega_{12} dy_{i0} - \omega_{13} dz_{i0} \end{aligned} \quad (26)$$

در این فرمول  $i$  بیانگر سری زمانی و اندیس صفر بیانگر مولفه‌های مرتبط با مرکز ثقل هر المان بوجود آمده است،  $u_x^0$  بیانگر جابجایی مرکز ثقل در راستای محور  $x$  و  $dx_{i0} = x_i - x_0$  فاصله هر نقطه از مرکز ثقل المانش،  $\varepsilon_{xx}$  المان کرنش نرمال در راستای محور  $x$ ،  $\varepsilon_{xy}$  کرنش برشی در صفحه افق و  $\omega$  ها مولفه‌های چرخش در راستای صفحات مختصاتی می‌باشند. به منظور راحتی، فرم ماتریسی معادلات فوق را می‌نویسیم<sup>[۲۴]</sup>:

لازم به ذکر است که معادله فوق، معادلات مشاهدات است نه اپراتور امید؛ که در آن  $I_r$  ماتریس همانی برای  $r$  سری زمانی و  $Y = [y_1 \dots y_r]$  سری زمانی از مشاهدات و  $X = [x_1 \dots x_r]$  سری زمانی از مجھولات می‌باشد و ماتریس کواریانسی به شکل زیر خواهیم داشت:

$$D(vec(Y)) = \sum_{k=1}^p \Sigma \otimes Q \quad (20)$$

$$Q = \sum_{k=1}^p S_k Q_k \quad (21)$$

برای برآورد ماتریس کواریانس برآوردها، مجھول مورد نظر  $\Sigma$  می‌باشد که از آنجا که دسترسی به آن ممکن نیست، درواقع بجای آن  $\hat{\Sigma}$  را برآورد می‌کنیم. برآوردها کمترین وریانس ماتریس مجھول  $\Sigma$  توسط LS-VCE را به صورت زیر خواهیم داشت<sup>[۲۲],[۱۱],[۱۹] و [۲۳]</sup>:

$$\hat{\Sigma} = \frac{\hat{E}^T Q^{-1} \hat{E}}{m-n} \text{ with } \hat{E} = P_A^\perp Y = [\hat{e}_1 \hat{e}_2 \dots \hat{e}_r] \quad (22)$$

برای مدل خطی چندمتغیره ما تنها احتیاج به جایگزینی ترمونها در معادلات ۱۲ و ۱۳ داریم. ترمونها در معادلات ۱۲ و ۱۳ طوری هستند که داریم :

$$\begin{aligned} vec(\hat{E}) &\rightarrow \hat{e}, \Sigma \otimes Q \rightarrow Q_y \\ \Sigma \otimes Q_k &\rightarrow Q_k, I \otimes P_A^\perp \rightarrow P_A^\perp \end{aligned}$$

بعد از یک عملیات جبری  $\hat{s} = N^{-1} l$  (  $s$  از معادله ۲۱ بدست آمده است) را به صورت زیر خواهیم داشت<sup>[۲۲]</sup>:

$$n_{kl} = \frac{r}{2} \text{tr} (Q^{-1} P_A^\perp Q_k Q^{-1} P_A^\perp Q_l) \quad (23)$$

$$l_k = \frac{1}{2} \text{tr} (\hat{E}^T Q^{-1} Q_k Q^{-1} \hat{E} \Sigma^{-1}) \quad (24)$$

$$\begin{bmatrix} u_x^i \\ u_y^i \\ u_z^i \end{bmatrix} = \begin{bmatrix} u_x^0 \\ u_y^0 \\ u_z^0 \end{bmatrix} + \begin{bmatrix} \epsilon_{xx} & \epsilon_{xy} & \epsilon_{xz} \\ \epsilon_{yx} & \epsilon_{yy} & \epsilon_{yz} \\ \epsilon_{zx} & \epsilon_{zy} & \epsilon_{zz} \end{bmatrix} \begin{bmatrix} dx_{i0} \\ dy_{i0} \\ dz_{i0} \end{bmatrix} + \begin{bmatrix} 0 & \omega_{12} & -\omega_{13} \\ -\omega_{12} & 0 & \omega_{23} \\ \omega_{13} & -\omega_{23} & 0 \end{bmatrix} \begin{bmatrix} dx_{i0} \\ dy_{i0} \\ dz_{i0} \end{bmatrix} \quad (27)$$

فوق در صورتیکه مختصات سه بعدی شبکه های GPS را مثلث بندی کرده و به عبارت دیگر به المان های کوچکتر تقسیم کنیم، معادله زیر حاصل خواهد شد:

$$\begin{bmatrix} u_{x^1}^i \\ u_{y^1}^i \\ u_{z^1}^i \\ \dots \\ u_{z^4}^i \end{bmatrix} = \begin{bmatrix} 1 & 0 & 0 & dx_{0^1}^i & dy_{0^1}^i & dz_{0^1}^i & 0 & 0 \\ 0 & 1 & 0 & 0 & dx_{0^1}^i & 0 & dy_{0^1}^i & dz_{0^1}^i \\ 0 & 0 & 1 & 0 & 0 & dx_{0^1}^i & 0 & dy_{0^1}^i \\ \dots & & & 0 & 0 & dx_{0^4}^i & 0 & dy_{0^4}^i \\ & & & 0 & 0 & 0 & dz_{0^4}^i & 0 \end{bmatrix} \begin{bmatrix} u_x^0, u_y^0, u_z^0 \\ e_{xx}, e_{yy}, e_{zz} \\ e_{xy}, e_{xz}, e_{yz} \\ w_{12}, w_{13}, w_{23} \end{bmatrix} \quad (28)$$

کواریانس نرخ جابجایی ها در تعیین دقت پارامترهای استرین احتیاج است. به عنوان مثال هرگاه دومین ستون ماتریس ضرایب در معادله ۲۸ مربوط به نرخ جابجایی ها باشد، ماتریس کواریانس نرخ جابجایی ها برای سری های مختلف بصورت زیر است:

$$Q_u = D(u) = \sum \otimes (A^T Q^{-1} A)^{-1} \quad (30)$$

به ازای هر چهار وجهی، از عناصر مشترک در ۱۲ سطر و ۱۲ ستون این ماتریس (مربوط به ۴ نقطه) استفاده می شود. برای انجام آنالیز نویز، نیازمند درنظر گرفتن مدل آماری به صورت  $Q_y = \sigma_w I + \sigma_f Q_f + \sigma_{wv} Q_{wv}$  می باشیم که ترم اول بیانگر همان نویز سفید و ترم دوم ماتریس کوفاکتور فلیکر و وریانس آن و ترم سوم ماتریس کوفاکتور رندم واک و وریانس آن می باشد (مطابق با آنچه در بخش ۱-۳ مطرح شد). ماتریس کوفاکتور فلیکر طبق فرمتی که Zhang و همکاران در سال ۱۹۹۷ تعریف کردند مورد استفاده قرار گرفته است [۱] و ماتریس رندم واک مطابق با فرمتی های مورد استفاده توسط Jonson و همکاران در سال ۱۹۹۴ و Mao و همکاران در سال ۱۹۹۹ و Zhang و همکاران در سال ۱۹۹۷ در نظر گرفته شد [۲۵][۱][۳].

در این مرحله نیاز به پارامتری داریم که مقایسه میان حالت های مختلف از معناداری استرین ها را برای ما معرفی

از آنجا که مشاهدات ما سری های زمانی از مختصات نقاط یک شبکه و مجھولات ما مولفه های تانسور این شبکه می باشند، لذا فرم ماتریسی المان محدود معادلات

همانطور که انتظار می رود برای هر چهار وجهی معادله ای مستقل وجود دارد و برای هر کدام از المان ها، بنابر المان محدود، تعداد معادلات و مجھولات برابر است. با بدست آمدن مولفه های تانسور در تمامی چهار وجهی ها یک نرخ کلی از جابجایی شبکه و همچنین کرنش ها و چرخش های شبکه طی سری زمانی مربوطه بدست می آید. بنابراین برای هر المان چهار وجهی سه المان جابجایی مرکز ثقل، سه مولفه کرنش نرمال، سه مولفه کرنش برشی و سه مولفه چرخش خواهیم داشت.

## ۶- برآورد واقع بینانه پارامترهای استرین و دقت های مربوطه

همان قدر که جابجایی های شبکه های ژئودینامیک برای ژئودزین ها اهمیت دارد، دقت های این جابجایی ها نیز مهم هستند. این دقت ها علاوه بر مفهوم آماری برای استرین ها می تواند بیانگر میزان معناداری استرین های مربوطه باشد. ماتریس کواریانس مجھولات بصورت زیر محاسبه می شود [۲۲]:

$$D\left(\text{vec}(\hat{X})\right) = \sum \otimes (A^T Q^{-1} A)^{-1} \quad (29)$$

از میان مجھولات، بردار  $X$  تنها نرخ جابجایی ها در آنالیز استرین استفاده شده است. بنابراین ماتریس

## ۷- نتایج عددی و توضیحات

مطالعات موردنی برای این پژوهه، با استفاده از داده‌های آذربایجان و شبکه کالیفرنیا انجام شده است. قبل از هر چیز لازم به ذکر است که دلیل استفاده از این دو شبکه، برخی تفاوت‌های آنها می‌باشد که هدف این پژوهه بررسی تاثیر این تفاوت‌ها در نتایج نهایی است. در جدول ۱ به طور خلاصه یک مقایسه کلی میان دو شبکه را داریم.

کند. برای این منظور از استرین نرمال شده در دو حالت نویز سفید و نویز واقع بینانه استفاده می‌کنیم. ممکن است این سوال پیش بیاید که چرا از آنالیز نویز واقع بینانه تک مولفه استفاده نشده است؟ به این دلیل که در آنالیز استرین با هر سه مولفه از هر سری زمانی درگیر هستیم، لذا استفاده از آنالیز چند متغیره مناسب می‌باشد. از آنجا که برای محاسبه معناداری استرین‌ها از آنالیز نویز چند متغیره واقع بینانه استفاده شده است، لذا به آن برآورد واقع بینانه پارامترهای استرین گفته می‌شود.

جدول ۱- مقایسه دو شبکه مورد بررسی در این تحقیق، آذربایجان و کالیفرنیا؛ همانطور که پیداست تفاوت عمدی این دو شبکه در طول سری زمانی آنهاست.

کالیفرنیا	آذربایجان	پارامتر
۲۰ کیلومتر	۲۰ کیلومتر	متوسط فاصله بین ایستگاهی
۱۹۹۶ - ۲۰۱۱	۲۰۰۵ - ۲۰۱۰	طول سری زمانی خام
۳۰۵۲ روز	۵۰۹ روز	طول سری زمانی همسان
IGS	پیوسته دائمی	نوع ایستگاه‌ها
۳۳	۲۵	تعداد ایستگاه‌ها
$mean(\varphi) = 34.0555$	$mean(\varphi) = 30.3414$	موقعیت جغرافیایی کلی شبکه
$mean(\lambda) = -117.9033$	$mean(\lambda) = 82.7423$	

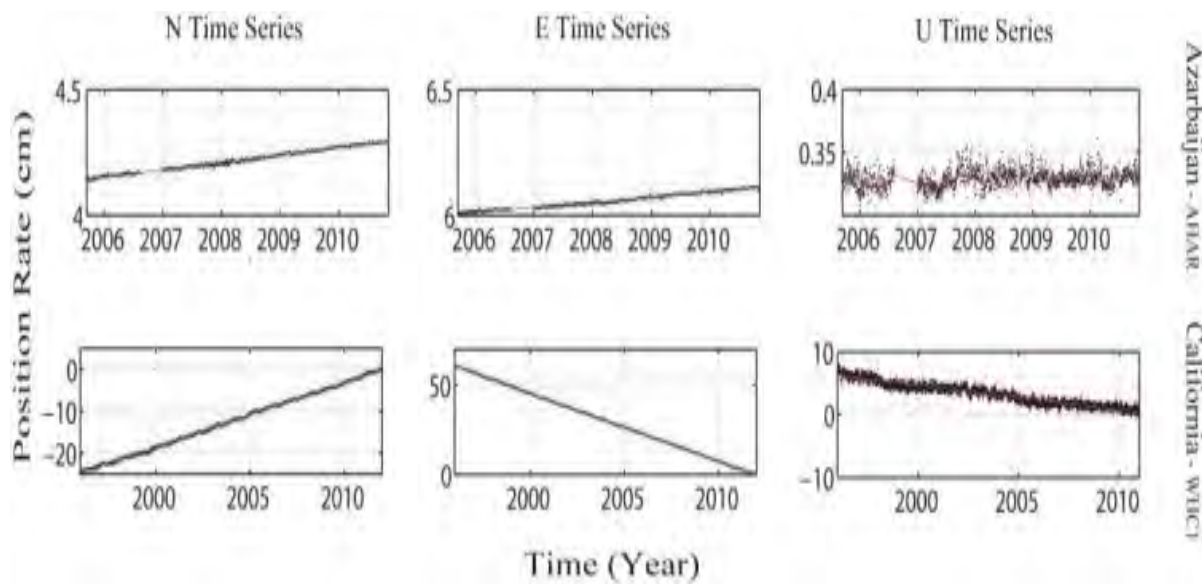
بین سالهای ۲۰۰۶ تا ۲۰۰۷ ۲۰۰۷ چندین ماه جمع آوری دیتا انجام نشده است و لازم به ذکر است که چنین مواردی در اغلب ایستگاه‌های این شبکه دیده می‌شود. شبکه آذربایجان علاوه بر اینکه طول سری بسیار کمتری دارد در تمامی ایستگاه‌ها، گپ‌های ناشی از عدم برداشت ناگهانی دیتا دیده می‌شود و این در حالی است که شبکه کالیفرنیا علاوه بر آبرابر بودن طول داده‌ها شبکه‌ای بسیار منظم از لحظ جمع آوری داده محسوب می‌شود. جدای از موارد مذکور طول سری‌های زمانی آذربایجان نزدیک به ۶ سال است و این در حالی است که شبکه کالیفرنیا ۱۵ سال جمع آوری دیتای GPS داشته است. همچنین لازم به ذکر است که مولفه قائم جدا از ضعف ارتفاعی GPS، در کالیفرنیا وضعیت بهتری را دارد.

حال برای مقایسه بیشتر بخش‌های تئوری مذکور را برای هر کدام از شبکه‌ها بررسی می‌کنیم (بديهی است که نتایج ذيل به صورت خلاصه آورده شده است).

### ۷-۱- بررسی سری‌های زمانی ایستگاه‌های GPS

اشکال زیر هر کدام یکی از ایستگاه‌های شبکه‌های مذکور را نشان می‌دهند و بیانگر وضعیت سری زمانی دو شبکه هستند.

در شکل ۱، سه سری زمانی بالا بیانگر وضعیت سری زمانی یکی از ایستگاه‌های شبکه آذربایجان در سه مولفه شمال و شرق و قائم است و سری‌های زمانی پایین مربوط به یکی از ایستگاه‌ها در شبکه کالیفرنیا است. همانطور که از اشکال پیداست در شبکه آذربایجان سری‌های زمانی نظم کمتری نسبت به شبکه کالیفرنیا دارند، به عنوان مثال در ایستگاه مورد بررسی از آذربایجان (AHAR) در

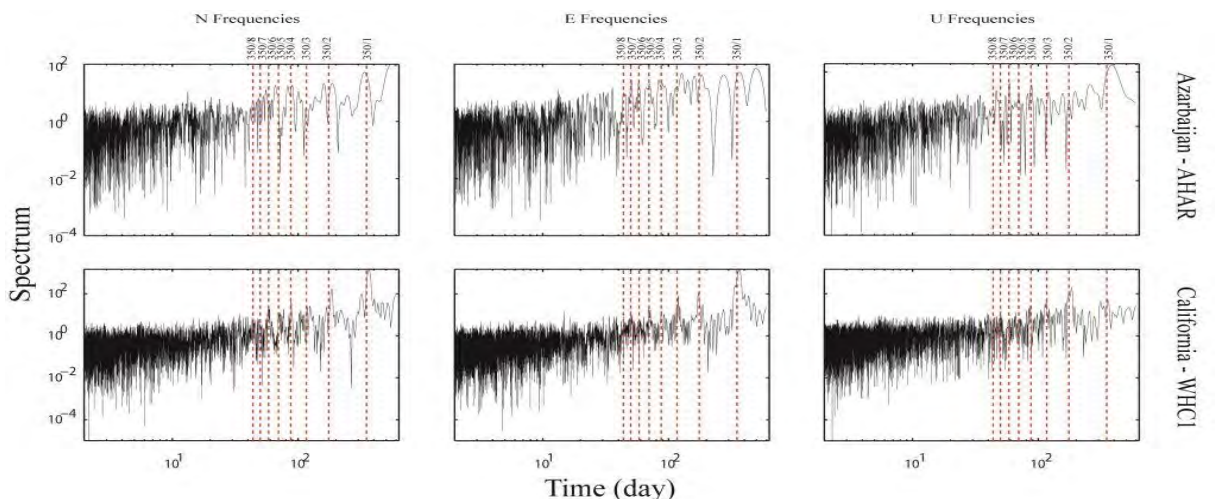


شکل ۱- بررسی سری زمانی یک ایستگاه از هر شبکه؛ سه شکل بالا ایستگاه AHAR از آذربایجان و سه شکل پایین ایستگاه WHC1 از کالیفرنیا را نشان می‌دهند. نقاط سیاه سری زمانی و خط قرمز کمترین مربعات برازش شده به این سری می‌باشند. این نتایج در سه مولفه شمال و شرق و قائم موجود است که در اینجا به ترتیب از چپ به راست قابل مشاهده است.

به نتایجی رسیدیم که اشکال ذیل، از هر شبکه یک ایستگاه را به طور مثال نشان می‌دهد و می‌توان گفت سایر ایستگاه‌های دیگر شبکه‌ها نیز با تقریب خوبی به همین صورت می‌باشند.

## ۲-۷- بررسی مربوط به هارمونیک‌های سری-های زمانی

اینکه هر سری زمانی از چه هارمونیک‌هایی در طول سری خود پیروی می‌کند مستلزم انجام آنالیز LS-HE و PS می‌باشد. در این قسمت ما با استفاده از فرمول‌های ۱ و ۴



شکل ۲- بررسی هارمونیک‌ها و طیف‌های یک ایستگاه از هر شبکه در حالت لگاریتمی؛ سه شکل بالا ایستگاه AHAR از آذربایجان و سه شکل پایین ایستگاه WHC1 از کالیفرنیا را نشان می‌دهد. اعداد روی گراف‌های حاضر هارمونیک‌های قابل انتظار از بخش ۲-۲ هستند. این نتایج در سه مولفه شمال و شرق و قائم موجود است که در اینجا به ترتیب از چپ به راست قابل مشاهده می‌باشند.

تا شبکه نشان دهد که در کدام هارمونیک‌ها دارای پیک قاطع‌تری می‌باشد. این مسئله همچنین کمک می‌کند تا اگر هارمونیکی در شبکه‌ای موجود بوده و دارای پیک کمتری باشد در حالت چند متغیره خود را بهتر نشان دهد.

در شکل ۳، شکل چپ مربوط به شبکه کالیفرنیا و سمت راست مربوط به شبکه آذربایجان است. در این اشکال برای مقایسه، اطلاعات هر هارمونیک به صورت مختصاتی در کنار می‌توان میزان طیف هر هارمونیک را از محور قائم در نظر گرفت و این در حالی است که هارمونیک‌های مهمتر با خطوط قرمز نمایش داده است. این مسئله به قیاس بیشتر کمک می‌کند، چراکه برای هارمونیک با پریودهای بلندتر میزان طیف در شبکه کالیفرنیا بسیار بیشتر از شبکه آذربایجان است و برای هارمونیک با فرکانس‌های بیشتر این تفاوت چندان بالا نیست. مانند بررسی تک متغیره، شبکه کالیفرنیا در نشان دادن هارمونیک‌ها توأمی بیشتری را نشان داده است. این امر می‌تواند معلوم سری زمانی منظم‌تر و طولانی‌تر این شبکه باشد.

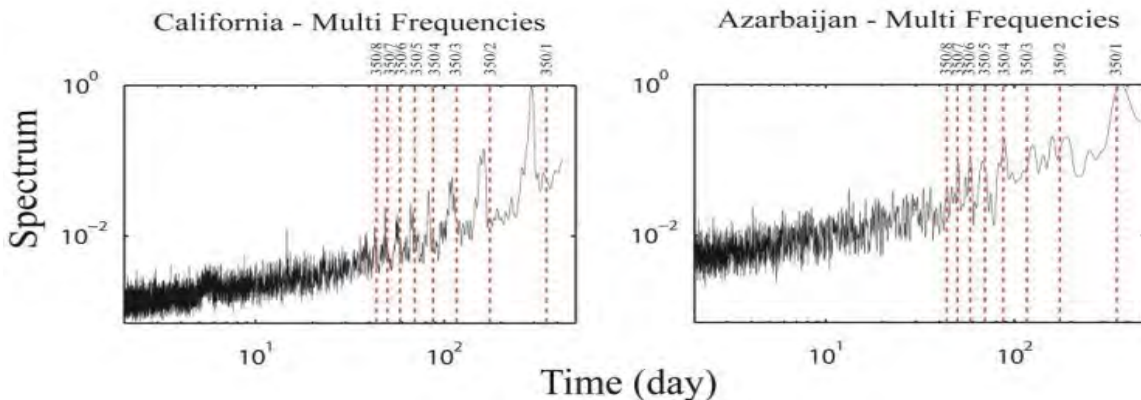
شبیه شکل ۱، در شکل ۲ نیز سه شکل بالا بیانگر وضعیت هارمونیک‌ها در سه مولفه از شبکه آذربایجان و سه شکل پایین مربوط به شبکه کالیفرنیا در حالت لگاریتمی است. فرکانس‌های قابل انتظار از سری‌های زمانی GPS طبق کارهای قبلی ([26] و [12]) هشت کسر اول از ۳۵۰ می‌باشند. برای تفسیر چنین هارمونیک‌هایی می‌توان به موارد ذیل اشاره کرد:

[۲۷] Agnew and Larson نشان دادند که تکرار زمانی صورت فلکی GPS<sup>۶</sup> در ایستگاه‌های دائم ۲۴۷ ثانیه کمتر از یک روز خورشیدی است، درصورتیکه برآوردهای موقعیت روزانه GPS برپایه یک روز خورشیدی است. این اختلاف خود را به صورت یک فرکانس ۰۰۰۲۸۵۶۵ سیکل/روز یا ۱۰۴۳۳ سیکل/سال (۳۵۰ روز) نشان می‌دهد. پریودهای یافته شده، مرتبط با این فرکانس و هارمونیک‌های آن است. همچنین تغییرات پریودیک دامنه باقیمانده‌ها با بیشترین مقداری که در فصول برایشان پیش می‌آید، بیانگر نقص مدلسازی مدار است [۲۸] و [۲۹]. جدای از این موارد پریودهای یافته شده مطابق با یک سال فلکی GPS نیز می‌باشند [۳۰]. در شبکه کالیفرنیا هارمونیک‌های قابل انتظار خصوصاً در مولفه‌های شمال و شرق دیده می‌شوند. اما پیک قابل توجهی که در فرکانس سالانه آنها وجود دارد سبب آن می‌شود که پیک هارمونیک‌ها با پریود کمتر، کوچکتر دیده شود. در شبکه آذربایجان برخی از هارمونیک‌های قابل انتظار در سری‌های زمانی دیده نمی‌شوند و این درحالیست که هارمونیک‌های یافته شده در این شبکه نیز با پیک کمتری نسبت به شبکه کالیفرنیا ظاهر شده‌اند. اما باز در مولفه قائم ضعف GPS مجدداً در بررسی هارمونیک‌ها خود را نشان می‌دهد، اگرچه اغلب هارمونیک‌ها موجود می‌باشند. به هر حال اشکال فوق، مربوط به بررسی هارمونیک تک متغیره می‌باشد و مسلم‌اً بررسی چند متغیره هارمونیک‌ها نتایج بهتری را خواهد داد.

### ۳-۷- بررسی هارمونیک چندمتغیره

در این بخش نتایج مربوط به تمامی ایستگاه‌ها و تمامی مولفه‌های هر شبکه را با یکدیگر همزمان بررسی کردیم

<sup>۶</sup> GPS Constellation



شکل ۳- بررسی هارمونیک‌ها و طیف‌های تمامی ایستگاه‌های موجود از هر شبکه در هرسه مولفه در حالت لگاریتمی؛ شکل سمت چپ شبکه کالیفرنیا و شکل سمت راست شبکه آذربایجان را در این بررسی نشان می‌دهد. اعداد روی گراف‌های حاضر هارمونیک‌های قابل انتظار از بخش ۲-۲ و ۱-۲ را به همراه طیف‌هایشان نشان می‌دهد.

عبارت دیگر پراکنش برای شبکه کالیفرنیا بیشتر از شبکه آذربایجان است.

جداول ۲ و ۳، به ترتیب مربوط آنالیز نویز دو شبکه و بیشترین احتمال مربوط به آنها است. در جدول اول وریانس مدل دوم برای هر دو شبکه بهتر از دو مدل دیگر است و می‌توان گفت تفاوت نسبتاً بیشتری در بین اعداد، در نتایج مربوط به شبکه کالیفرنیا دیده می‌شود. در جدول ۲، علاوه بر اینکه آماره بیشترین احتمال برای مدل دوم در هر دو شبکه بیشتر است، باز هم می‌توان گفت تفاوت مقادیر برای شبکه کالیفرنیا بیشتر است. به هر حال همان طور که پیش بینی می‌شد ترکیبی از نویز سفید و نویز فلیکر مدل نویز مناسب برای هر دو شبکه است. با توجه به مطالب فوق حال مدل مورد نظر برای آنالیز نویز چند متغیره به صورت  $Q = \lambda_1 I + \lambda_2 Q_f$  تعریف می‌شود که

$$D(\text{vec}(Y)) = \Sigma \otimes Q \quad \text{and} \quad Q = \sum_{k=1}^p s_k Q_k$$

$\lambda_1$  و  $\lambda_2$  توسط LS-VCE و طبق فرمول ۲۲ برآورد می‌شوند [۲۲].

#### ۴-۷- بررسی آنالیز نویز سری‌های زمانی GPS

مقایسه بعدی مربوط به مولفه‌های آنالیز نویز واقع بینانه و وریانس‌های آنهاست. در این مرحله علاوه بر درنظرگرفتن مدل ریاضی مطابق بخش ۶، سه مدل تصادفی به صورت (الف) مدل نویز سفید، (ب) مدل نویز ترکیبی سفید و فلیکر- (ج) مدل نویز ترکیبی سفید و رندم واک در نظر گرفته- ایم. نتایج بررسی‌ها برای یک مولفه از هر شبکه طبق جداول زیر می‌باشد. در شبکه آذربایجان مولفه‌های مربوط به مدل دوم وریانس بهتر و احتمال بیشتری است. بنابراین مدل نویز واقع بینانه منتبه به این شبکه مدل مذکور است. این مسئله برای شبکه کالیفرنیا نیز صادق است؛ طوریکه در تمامی ایستگاه‌ها مولفه وریانس این مدل بهتر و احتمال این مدل بیشتر است. اما به نظر می‌رسد که این مقادیر برای شبکه کالیفرنیا واقع بینانه‌تر باشد، چراکه برای برخی از ایستگاه‌های شبکه آذربایجان تفاوت میان مقادیر سه مدل با یکدیگر کمتر از همین مقادیر برای ایستگاه‌های کالیفرنیا است. همچنین مقادیر آماره بیشترین احتمال برای سه مدل تصادفی مذکور برای شبکه آذربایجان مجدداً برای برخی ایستگاه‌ها تفاوت مقدار کمی دارند و برای شبکه کالیفرنیا این مقادیر واقع بینانه‌تر به نظر می‌رسد. به

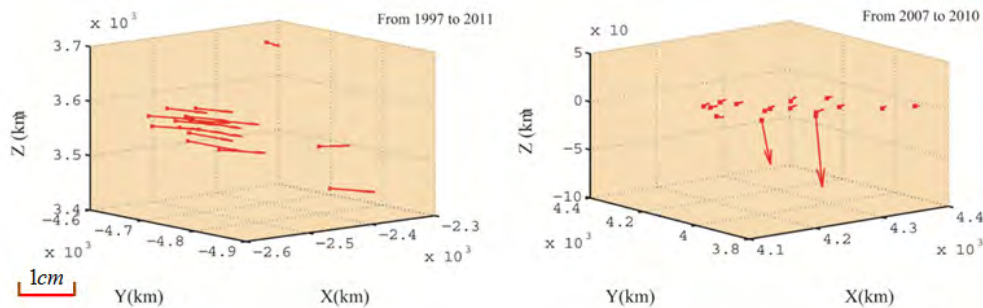
جدول ۲ - نتایج آنالیز نویز با سه مدل متفاوت برای ایستگاه AHAR از شبکه آذربایجانو ایستگاه WHC1 از شبکه کالیفرنیا. مدل نویز اول تنها شامل نویز سفید و مدل نویز دوم ترکیبی از نویز سفید و نویز فلیکر و مدل سوم ترکیبی از نویز سفید و رندم واک می‌باشند. همانطورکه دیده می‌شود مدل دوم، مدل نویز واقع‌بینانه برای این دو شبکه است.

WHC1		AHAR		ایستگاه	
$\sigma_{\hat{\sigma}}$	دقت	$\sigma_{\hat{\sigma}}$	دقت	وریانس $\hat{\sigma}$	مولفه
۰,۰۰۶۴۲۲۶	۱,۸۴۰۲	۳,۳۹۵۱۰ - ۰۰۶	۰,۰۳۰۹۳۵	N	
۰,۰۰۶۳۲۲	۱,۸۲۷۵	۳,۷۱۱۲۰ - ۰۰۶	۰,۰۳۲۳۶۳	E	مدل نویز اول: نویز سفید
۰,۰۴۰۸۳۷	۴,۶۴۳۵	۱,۲۵۰۳۰ - ۰۰۵	۰,۵۹۳۳۸	H	
۰,۰۰۶۲۲۳۳	۱,۴۹۹۹	۴,۹۱۵۸۰ - ۰۰۶	۰,۰۲۹۹۴۵	N	
۰,۰۰۶۳۰۶۷	۱,۵۰۵	۳,۶۵۶۲۰ - ۰۰۶	۰,۰۲۵۹۱۳	E	مدل نویز دوم: نویز سفید+نویز
۰,۰۴۶۱۳۹	۴,۲۱۲۳	۲,۵۲۹۴۰ - ۰۰۵	۰,۰۶۷۱۳۶	H	فلیکر
۰,۰۲۰۲۶۵	۱,۷۵۸	۱,۶۱۷۳۰ - ۰۰۵	۰,۰۳۷۰۰۵	N	
۰,۰۲۰۰۵۵۲	۱,۷۸۷	۱,۲۰۲۹۰ - ۰۰۵	۰,۰۳۱۶۷۲	E	
۰,۱۴۸۰۷	۴,۴۶۷۹	۸,۳۰۹۷۰ - ۰۰۵	۰,۰۸۶۹۸۷	H	
۰,۰۰۲۹۹۲۳	۱,۱۸۵۲	۲,۰۷۱۳۰ - ۰۰۶	۰,۰۲۲۱۴۶	N	
۰,۰۰۲۹۶۵۱	۱,۱۷۸	۱,۶۰۱۰ - ۰۰۶	۰,۰۱۹۸۵۱	E	مدل نویز سوم: نویز سفید+نویز
۰,۰۲۶۲۸	۳,۵۸۱۸	۱,۰۱۷۶۰ - ۰۰۵	۰,۰۴۸۸۹	H	رندم واک
۰,۱۹۲۵۳	۴,۶۹۶۲	۰,۰۰۰۲۰۶۴۵	۰,۱۱۹۱۷	N	
۰,۲۰۱۵۸	۴,۸۵۵۳	۰,۰۰۰۱۲۰۸۷	۰,۰۸۶۲۷۱	E	
۱,۰۲۳۴	۹,۹۱۸۱	۰,۰۰۱۰۵۶۷	۰,۲۷۲۰۵	H	

جدول ۳- نتایج آماره بیشترین احتمال برای سه مدل متفاوت از ایستگاه AHAR از شبکه آذربایجان و ایستگاه WHC1 از شبکه کالیفرنیا. مدل نویز اول تنها شامل نویز سفید و مدل نویز دوم ترکیبی از نویز سفید و نویز فلیکر و مدل سوم ترکیبی از نویز سفید و رندم واک می‌باشند. همانطورکه دیده می‌شود احتمال مدل دوم برای دو شبکه بیشتر است.

WHC1		AHAR		ایستگاه	
بیشترین احتمال	بیشترین احتمال	بیشترین احتمال	مولفه	مدل	
۱۵۴۰,۷۱۲۱		۷۰۴۳,۸۹۸۶	N	مدل نویز اول	
۱۵۸۵,۴۷۷۶		۶۹۸۸,۳۵۱۷	E	نویز سفید	
-۳۶۳۸,۲۴۰۹		۵۹۸۲,۱۲۲۹	H		
۳۴۷۰,۵۸۴۲					
۳۵۰۱,۳۳۴۶		۷۳۶۳,۸۲۲۷	N	مدل نویز دوم	
-۲۵۲۰,۱۲۰۷		۷۶۰۶,۲۱۹	E	نویز سفید+نویز فلیکر	
		۶۰۹۸,۲۰۸۴	H		
۳۴۰۸,۹۲۹		۷۳۳۹,۷۰۷۴	N	مدل نویز سوم	
۳۴۲۳,۷۶۰۳		۷۵۸۱,۷۳۷۷	E	نویز سفید+نویز رندم واک	
-۲۵۹۶,۷۱۸		۶۰۴۲,۶۴۷۶	H		

لازم به ذکر است از این بخش تا پایان تحقیق محدود به ایستگاهها با داده‌هایی همسان (همزان) شدیم که این مسئله برای آذربایجان ۱۶ ایستگاه با ۵۰۹ روز و برای کالیفرنیا ۱۷ ایستگاه با ۳۰۵۲ روز را به همراه داشت.



شکل ۴- بردارهای سرعت در دو شبکه کالیفرنیا (شکل سمت چپ) و آذربایجان (شکل سمت راست) در ایستگاه‌های دارای سری زمانی همزمان؛ شبکه کالیفرنیا جابجایی در راستای افق را نشان می‌دهد و شبکه آذربایجان تغییر شکل را نشان می‌دهد.

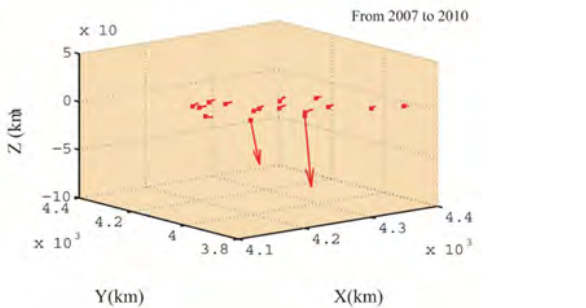
## ۵-۶- بررسی پارامترهای مولفه‌های کرنش و چرخش نرمال‌شده

در حقیقت هدف اصلی این تحقیق تمرکز بر روی پارامترهای استرین در حالت نرمال‌شده بود و دلیل این امر استفاده از مدل نویز واقع بینانه‌ای بود که برای هر شبکه بدست آمده بود. در اینجا برخی از پارامترهای مهم حاصل از بخش قبل را مورد بررسی قرار می‌دهیم. این بررسی مرتبط با میزان معناداری مولفه‌های بدست آمده در بخش قبل است. این معناداری در دو حالت نویز سفید و نویز واقع بینانه برای دو شبکه مورد بررسی قرار گرفته و نتایج به صورت زیر است.

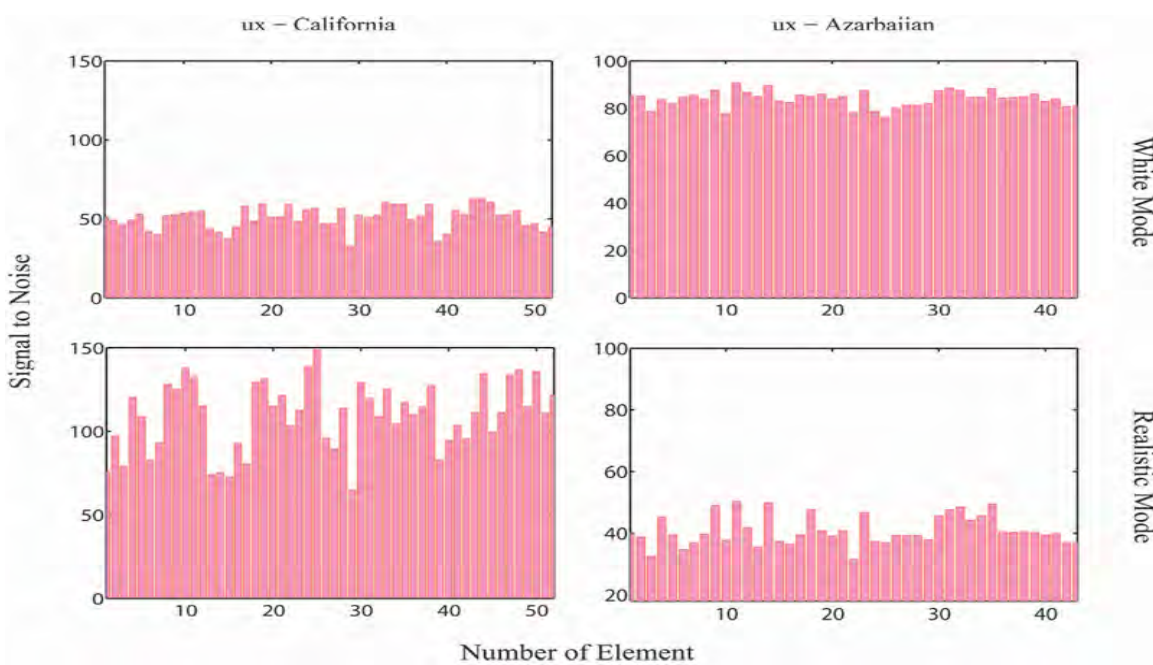
### ۵-۶-۱- پارامتر نرمال‌شده جابجایی جابجایی در راستای مولفه شمالی ( $N$ ) :

## ۵-۷- بررسی آنالیز استرین سری‌های زمانی GPS

با توجه به بخش ۵ و توسط فرمول ۲۸ آنالیز استرین برای دو شبکه انجام پذیرفت. در این بخش بردار سرعت مربوط به ایستگاه‌های مورد استفاده از هر شبکه مورد توجه است.



شکل سمت چپ مربوط به شبکه کالیفرنیا و شکل سمت راست بردارهای سرعت در شبکه آذربایجان را نشان می‌دهد. در شبکه آذربایجان بردارهای سرعت بیانگر تغییر شکل شبکه در طی سری زمانی است. اما برای شبکه کالیفرنیا تغییر شکل در یک جهت و آن هم در راستای صفحه افق دیده می‌شود. به عبارت بهتر آنچه از بردارهای سرعت کالیفرنیا پیداست بیانگر یک جابجایی در صفحه افق است تا یک تغییر شکل. نتایج مذکور ابتدا یک پیش داوری را در آنالیز مولفه‌های کرنش و چرخش برای ما به همراه داشت و آن این است که انتظار می‌رود مولفه‌های جابجایی مرکز ثقل در شبکه کالیفرنیا نسبت به شبکه آذربایجان از مقدار بیشتری برخوردار باشند و عکس این نتایج برای مولفه‌های کرنش و چرخش نیز پیش بینی می‌شد. در نهایت دیده شد که پیش داوری مورد نظر درست بوده و پارامترهای جابجایی برای کالیفرنیا مقادیر بیشتر و مقادیر کرنش برای آذربایجان اندازه بیشتری را به خود اختصاص می‌دادند.



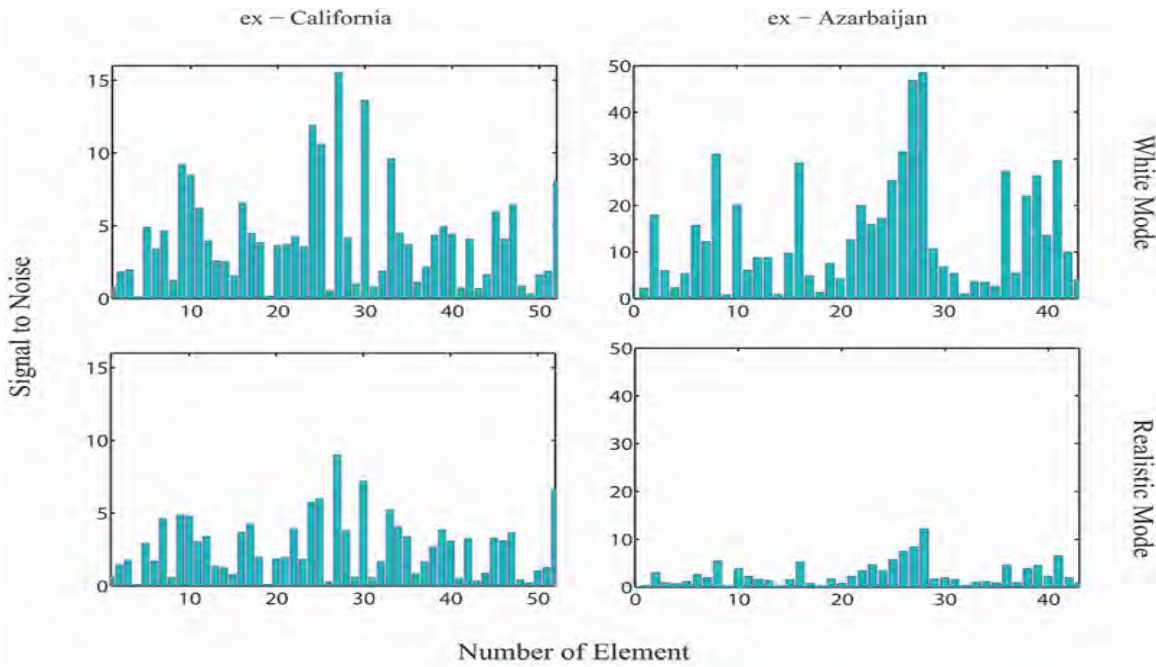
شکل ۵- بررسی پارامتر جابجایی نرمال شده با دو مدل نویز سفید و نویز واقع بینانه، اشکال مربوط به مدل نویز سفید در ردیف بالا و اشکال مربوط به نویز واقع بینانه در ردیف پایین قرار دارد. مانند قبل اشکال سمت راست شبکه کالیفرنیا و اشکال سمت راست شبکه آذربایجان را نشان می‌دهد.

است که به ترتیب در بخش‌های ۱-۷ و ۲-۷ و ۳-۷ نتیجه شده بودند. به هر حال شبکه منظم‌تر و بلندتر می‌تواند پارامترهای مطمئن‌تری را در آنالیزهای مربوط به سری‌های زمانی ارائه دهد و این در صورتی است که نویز واقع بینانه شبکه را استفاده کنیم و به نویز سفید که تنها بخشی از نویز واقع بینانه است اکتفا نکنیم.

#### ۲-۶-۷- پارامترهای نرمال شده کرنش

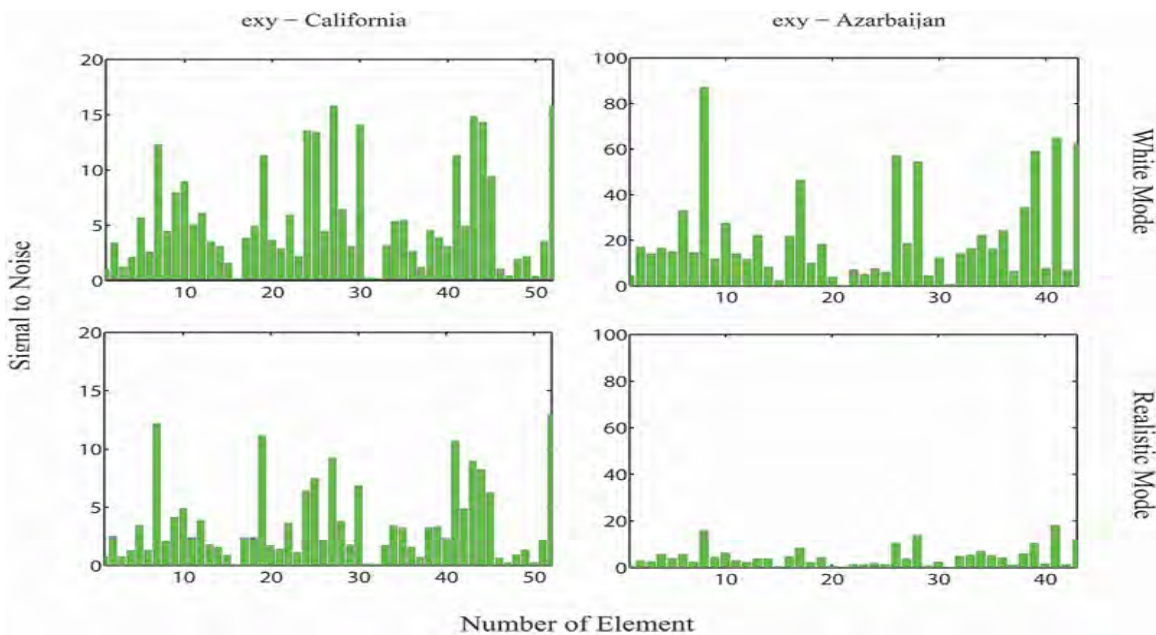
پارامتر کرنش نرمال در راستای مولفه شمالی ( $N$ ) :

در شکل ۵، اشکال سمت چپ مربوط به شبکه کالیفرنیا و سمت راست برای شبکه آذربایجان است. همان طور که پیداست در حالت نویز سفید معناداری بیشتری را برای شبکه آذربایجان داریم ولی با تفاوت بسیار زیادی این معناداری برای حالت واقع بینانه برعکس می‌شود. با توجه به اینکه این نتایج با نتایج بخش قبل که بردارهای سرعت را نشان می‌داد هم تراز است و همچنین با توجه به اینکه مدل واقع بینانه مدلی تایید شده است، می‌توان این طور گفت که به نظر می‌رسد به طور کل معناداری آنالیز پارامترهای استرین در شبکه کالیفرنیا بیشتر است تا در شبکه آذربایجان و اینها همچنین نتایج یک سری زمانی بلندتر با گپ کمتر و هارمونیک‌های قابل انتظار



شکل ۶- بررسی پارامتر کرنش نرمال در راستای مولفه شمالی ( $N$ ) نرمال شده با دو مدل نویز سفید و نویز واقع بینانه، اشکال مربوط به مدل نویز سفید در ردیف بالا و اشکال مربوط به نویز واقع بینانه در ردیف پایین قرار دارد. مانند قبل اشکال سمت چپ شبکه کالیفرنیا و اشکال سمت راست شبکه آذربایجان را نشان می‌دهد.

#### پارامتر کرنش برشی در راستای افق:



شکل ۷- بررسی پارامتر کرنش برشی افقی نرمال شده با دو مدل نویز سفید و نویز واقع بینانه، اشکال مربوط به مدل نویز سفید در ردیف بالا و اشکال مربوط به نویز واقع بینانه در ردیف پایین قرار دارد. مانند قبل اشکال سمت چپ شبکه کالیفرنیا و اشکال سمت راست شبکه آذربایجان را نشان می‌دهد.

که اولی بیانگر معناداری تغییرشکل در راستای محور  $x$  و دومی مرتبط با تغییر شکل در راستای افق در دو شبکه است، داریم که معنادارای برای شبکه آذربایجان با شدت زیادی برای زمانیکه از نویز واقع بینانه استفاده کردہ ایم

بررسی معناداری پارامترهای کرنش نرمال و برشی برای دو شبکه به ترتیب در اشکال ۶ و ۷ قبل مشاهده است. مجدداً اشکال سمت چپ مربوط به شبکه کالیفرنیا و سمت راست برای شبکه آذربایجان است. در این اشکال

باشد و همچنین پریود کلی این سری‌ها خصوصاً در داده‌های همزمان بیش از شش بار از کالیفرنیا کمتر است. همچنین هارمونیک سنجی این شبکه تمامی هارمونیک‌های قابل انتظار را حتی در حالت چندمتغیره نشان نمی‌داد وعلاوه بر این، هارمونیک‌های موجود نیز دارای طیفی به بزرگی هارمونیک‌های کالیفرنیا نبودند. با توجه به اینکه کالیفرنیا همان طور که در شکل ۴ دیده شد بیشتر دارای جابجایی است تا تغییر شکل و آذربایجان بیشتر تغییرشکل دارد تا جابجایی، اما دیده شد که برای کالیفرنیا در پارامترهای مربوط به جابجایی، معناداری بیشتری را در حالت استفاده از نویز واقع بینانه نسبت به نویز سفید داشتیم، این انتظار می‌رفت که برای پارامترهای کرنش نیز این اتفاق برای آذربایجان حاصل شود، اما نه تنها چنین نشد بلکه معناداری در استفاده از نویز واقع بینانه کاهش پیدا کرد. بنابراین می‌توان این اطمینان را داشت که برای آنالیز استرین مطمئن شبکه کالیفرنیا شرایط مساعدی دارد و شاید اگر شبکه آذربایجان برای نظم بیشتر در سری‌های زمانی (عدم وجود گپ و پرش و آفست) بر روی سختافزارها و نرمافزارهای هر ایستگاه تمرکز بیشتری داشته باشد و همچنین اگر با همین تمرکز حداقل پنج سال دیگر از طول این سری‌های زمانی بگذرد، این شبکه نیز شرایط مساعد تری برای آنالیز استرین پیدا کند.

کم شده است و این در حالی است که این معناداری برای شبکه کالیفرنیا تغییر چندانی نکرده است. این مسئله باز می‌تواند بیانگر این باشد که شبکه آذربایجان برای مدل نویز واقع بینانه معناداری را کم می‌کند و دلیل این امر می‌تواند همان دلایلی باشد که در بخش ۱-۶-۷ ذکر شد.

## ۸- نتیجه‌گیری

با توجه به اشکال ۵ تا ۷، به نظر می‌رسد معناداری پارامترهای ماتریس استرین برای شبکه کالیفرنیا بیشتر از آذربایجان است. چراکه در اشکال مرتبط با مولفه جابجایی معناداری بیشتری برای کالیفرنیا در حالتی که از مدل نویز واقع بینانه استفاده کردیم (نسبت به استفاده از مدل نویز سفید)، بدست آمد. اما برای آذربایجان نه تنها در هیچکدام از مولفه‌ها معناداری بیشتری در حالت استفاده از مدل نویز واقع بینانه نداشتیم، بلکه در حالت استفاده از مدل نویز واقع بینانه معناداری با شدت بسیاری کاهش پیدا کرد. همان طور که در بخش‌های ۳-۷ و ۲-۷ و ۱-۷ دیده شد، سری زمانی کالیفرنیا علاوه بر اینکه پریود بلندتری دارد، دارای نظم بیشتری نیز می‌باشد. همچنین هارمونیک‌های قابل انتظار اغلب در بررسی هارمونیک تک متغیره و همگی در بررسی هارمونیک چندمتغیره برای کالیفرنیا دیده می‌شوند. از طرفی برای آذربایجان سری زمانی در تمامی ایستگاه‌ها دارای گپ و گاهی پرش می-

## مراجع

- [1] J. Zhang, Y. Bock, H. Johnson, P. Fang, S. Williams, J. Genrich, S. Wdowinski, and J. Behr, "Southern California Permanent GPS Geodetic Array: Error analysis of daily position estimates and site velocities," *JOURNAL OF GEOPHYSICAL RESEARCH-ALL SERIES-*, vol. 102, pp. 18–18, 1997.
- [2] E. Calais, "Continuous GPS measurements across the Western Alps, 1996–1998," *Geophysical Journal International*, vol. 138, no. 1, pp. 221–230, 1999.
- [3] A. Mao, C. G. A. Harrison, and T. H. Dixon, "Noise in GPS coordinate time series," *Journal of Geophysical Research*, vol. 104, no. B2, pp. 2797–2816, 1999.
- [4] S. D. P. Williams, Y. Bock, P. Fang, P. Jamason, R. M. Nikolaïdis, L. Prawirodirdjo, M. Miller, and D. J. Johnson, "Error analysis of continuous GPS position time series," *Journal of Geophysical Research*, vol. 109, no. B3, p. B03412, 2004.
- [5] Y. Bock, R. M. Nikolaïdis, P. J. De Jonge, and M. Bevis, "Instantaneous geodetic positioning at medium distances with the Global Positioning System," *Journal of Geophysical Research*, vol. 105, no. B12, pp. 28223–28, 2000.
- [6] J. Langbein and Y. Bock, "High-rate real-time GPS network at Parkfield: Utility for detecting fault slip and seismic displacements," *Geophys. Res. Lett.*, vol. 31, no. 15, p. L15S20, 2004.

- [7] F. Wyatt, "Displacement of surface monuments: horizontal motion," *Journal of Geophysical Research*, vol. 87, no. B2, pp. 979–989, 1982.
- [8] F. WYATT, "Displacement of surface monuments- Vertical motion," *Journal of Geophysical Research*, vol. 94, pp. 1655–1664, 1989.
- [9] F. K. Wyatt, H. Bolton, S. Bralla, and D. C. Agnew, "New designs of geodetic monuments for use with GPS," *Eos Trans. AGU*, vol. 70, pp. 1054–1055, 1989.
- [10] H. Johnson, D. C. Agnew, S. D. I. of G. University of California, P. Physics, and G. S. (US), *Correlated Noise in the Geodetic Time Series*. The University, 2000.
- [11] A. Amiri-Simkooei, "Least-Squares estimation of variance components, theory and GPS applications," Doctoral dissertation, Delft University of Technology, Netherlands, 2007.
- [12] A. R. Amiri-Simkooei, C. Tiberius, and P. J. G. Teunissen, "Assessment of noise in GPS coordinate time series: Methodology and results," *Journal of Geophysical Research*, vol. 112, no. B7, p. B07413, 2007.
- [13] P. J. G. Teunissen, *Adjustment theory*. Univ. Press, 2000.
- [14] B. B. Mandelbrot and J. W. Van Ness, "Fractional Brownian motions, fractional noises and applications," *SIAM review*, vol. 10, no. 4, pp. 422–437, 1968.
- [15] D. C. Agnew, "TtE TIME-DOMAIN BEHAVIOR OF POWER-LAW NOISES," *Geophysical research letters*, vol. 19, no. 4, pp. 333–336, 1992.
- [16] B. B. Mandelbrot, *The fractal geometry of nature*. Wh Freeman, 1983.
- [17] B. B. Mandelbrot, *Fractals: form, chance and dimension*. San Francisco, CA: Freeman, 1977.
- [18] S. D. P. Williams, "The effect of coloured noise on the uncertainties of rates estimated from geodetic time series," *Journal of Geodesy*, vol. 76, no. 9, pp. 483–494, 2003.
- [19] P. J. G. Teunissen and A. R. Amiri-Simkooei, "Least-squares variance component estimation," *Journal of Geodesy*, vol. 82, no. 2, pp. 65–82, 2008.
- [20] W. H. Press, *Numerical recipes in FORTRAN: the art of scientific computing*, vol. 1. Cambridge Univ Pr, 1992.
- [21] J. Van Loon, *Functional and stochastic modelling of satellite gravity data*. Nederlandse Commissie voor Geodesie, 2008.
- [22] A. R. Amiri-Simkooei, "Noise in multivariate GPS position time-series," *Journal of Geodesy*, vol. 83, no. 2, pp. 175–187, 2009.
- [23] B. Schaffrin, "Best invariant covariance component estimators and its application to the generalize multivariate adjustment of heterogeneous deformation observations," *Journal of Geodesy*, vol. 55, no. 1, pp. 73–85, 1981.
- [24] L. E. Malvern, *Introduction to the Mechanics of a Continuous Medium*. 1969.
- [25] H. O. Johnson, and F. K. Wyatt, "Geodetic network design for faultmechanics studies, Manuscr.," *Geophys. Res. Lett*, vol. 19, pp. 309– 323, 1994.
- [26] J. Ray, "Systematic errors in GPS position estimates," in *Presentation at IGS 2006 workshop, Darmstadt (available electronically at nng. esoc. esa. de/ws2006/ERRO6. pdf)*, 2006.
- [27] D. C. Agnew and K. M. Larson, "Finding the repeat times of the GPS constellation," *GPS Solutions*, vol. 11, no. 1, pp. 71–76, 2007.
- [28] C. Urschl, W. Gurtner, U. Hugentobler, S. Schaer, and G. Beutler, "Validation of GNSS orbits using SLR observations," in *IGS Workshop 2006, ESOC Darmstadt, Germany, session 11, 8– 12 May., 2006*.
- [29] C. Urschl, W. Gurtner, U. Hugentobler, S. Schaer, and G. Beutler, "Validation of GNSS orbits using SLR observations," *Advances in Space Research*, vol. 36, no. 3, pp. 412–417, 2005.
- [30] G. Beutler, "Geodetic monitoring of the Earth and the role of geodetic theory in the age of space geodesy," in *VI Hotine–Marussi Symposium of Theoretical and Computational Geodesy: Challenge and Role of Modern Geodesy, Wuhan University, China, 29 May–2 June, 2006*.

